

## รายการอ้างอิง

- Balanis, C.A. Advanced Engineering electromagnetics.: John Wiley & Son, 1989.
- Belytschko T, Lu YY, Gu L. Element-Free Galerkin methods. International Journal for Numerical Methods in Engineering 37(1994) : 119-256.
- G.R. Liu. Mesh Free Method:Moving Beyond the Finite Element Method. Boca Raton : CRC Press, 2002.
- Guan, J.M., and Su, C.C. Analysis of metallic waveguides with rectangular boundaries by using the finite-difference method and the simultaneous iteration with the Chebyshev acceleration. IEEE Transactions on Microwave Theory and Techniques Vol.43, No.2 (February 1995) : 374-382.
- Ho, S.L., Yang, S., Machado, J.M., Wong, H.C. Application of a Meshless Methods in Electromagnetics. IEEE Transactions on Magnetics 37, 5 (Sept. 2001) : 3198 - 3202
- Hoole, S.R.H. Eigenvalue and eigenvector perturbation and adaptive mesh generation in the analysis of waveguides. IEEE Transactions on Magnetics Vol.26, No.2 (March 1990): 791-794 .
- J.Dolbow and T.Belytschko. An introduction to Programming the Meshless Element Free Galerkin Methods. Arch.comput.Mech vol.5.,n03oo(1998) : 207-241.
- Jin, J.M. The Finite Element Method in Electromagnetics.: John Wiley & Son, 1993.
- J.R. Xiao,M.A. McCarthy. A local Heaviside weighted meshless method for two-dimensional solids using radial asic functions. Computational Mechanics 31 (2003) : 301-315.
- Montgomery, J.P. On the complete eigenvalue solution of ridge waveguide. IEEE Transactions on Microwave Theory and Techniques Vol.19, No.6, (June 1971) : 547-555.
- Swaminathan, M., Arvas, E. Sarkar, T.K., and Djordjevic, A.R. Computation of cutoff wavenumbers of TE and TM modes in waveguides of arbitrary cross sections using a surface integral formulation. IEEE Transactions on Microwave Theory and Techniques Vol.38, No.2 (February 1990) : 154-159.

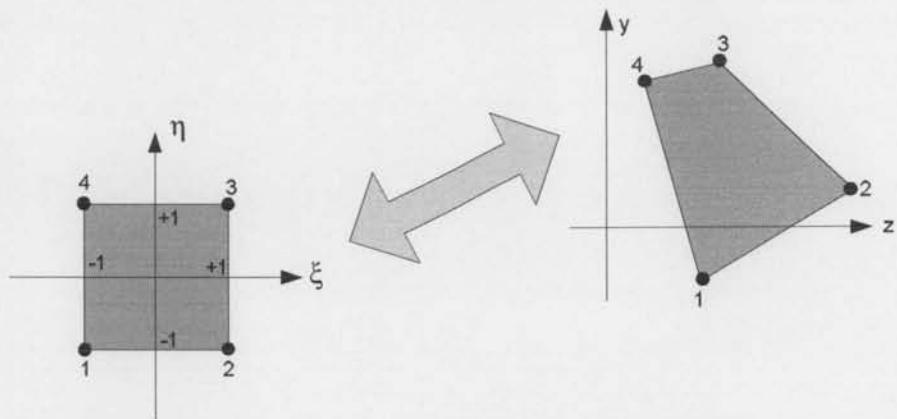
- S. N. Atluri, H.-G. Kim, J. Y. Cho. A critical assessment of the Meshless Local Petrov-Galerkin (MLPG),and Local Boundary Integral Equation (LBIE) methods. Computational Mechanics 24 (1999) : 348-372.
- S. N. Atluri, T. Zhu. A new Meshless Local Petrov-Galerkin (MLPG) approach in computational mechanics. Computational Mechanics 22 (1998) : 117-127
- T.Belytschko, Y.krongauz, D.Organ,M. Fleming, and P.Krysl. Mesh-less methods:an overview and recent developments. Comput. Methods. Appl. Mech. Eng vol139(1996) : 3-47.
- Y.L.Wu,G.R.Liu. A meshfree formulation of local radial point interpolation method(LRPIM) for incompressible flow simulation. comput.mech 30(2003) : 355-365.

ภาคผนวก

## ภาคผนวก ก

### การแปลงพิกัดเรขาคณิต

ภาคผนวกนี้จะกล่าวถึงรูปแบบของการแปลงพิกัดเรขาคณิตจากอีลีเมนต์อ้างอิงใน 2 มิติไปสู่อีลีเมนต์จริงเพื่อให้ในการประมาณการอินทิเกรตเชิงตัวเลข(numerical integration) ในพิกัด  $(\xi, \eta)$  ซึ่งจะสามารถทำได้ง่ายกว่าการอินทิเกรตในพิกัด  $(x, y)$



รูปที่ ก.1 การแปลงพิกัดเรขาคณิต

กำหนดให้พิกัดที่ตำแหน่ง  $(x, y)$  ได้ดังรูปดังนี้

$$x(\xi, \eta) = \sum_{i=1}^4 N_i x_i = N_1(\xi, \eta)x_1 + N_2(\xi, \eta)x_2 + N_3(\xi, \eta)x_3 + N_4(\xi, \eta)x_4 \quad (\text{ก.1})$$

$$y(\xi, \eta) = \sum_{i=1}^4 N_i y_i = N_1(\xi, \eta)y_1 + N_2(\xi, \eta)y_2 + N_3(\xi, \eta)y_3 + N_4(\xi, \eta)y_4 \quad (\text{ก.2})$$

ซึ่งค่า  $x_i, y_i$  คือค่าในพิกัด  $(x, y)$  และค่า  $N_i$  คือพิงก์ชันรูปร่างของโนดในพิกัดอ้างอิง  $(\xi, \eta)$  ที่มีคุณสมบัติตามเงื่อนไขที่ว่า  $N_n(\xi, \eta) = 1$  ที่โนด  $n$  และ  $N_n(\xi, \eta) = 0$  ที่โนดอื่นซึ่งพิงก์ชันรูปร่างที่แต่ละค่าเป็น

$$N_1(\xi, \eta) = \frac{1}{4}(1-\xi)(1-\eta) \quad (\text{ก.3})$$

$$N_2(\xi, \eta) = \frac{1}{4}(1+\xi)(1+\eta) \quad (\text{ก.4})$$

$$N_3(\xi, \eta) = \frac{1}{4}(\xi+1)(\eta-1) \quad (\text{ก.4})$$

$$N_4(\xi, \eta) = \frac{1}{4}(1-\xi)(1+\eta) \quad (\text{ก.4})$$

ซึ่งในการแปลงพิกัดนี้สามารถหาได้โดยใช้ความสัมพันธ์คือ

$$\begin{Bmatrix} \frac{\partial \phi}{\partial \xi} \\ \frac{\partial \phi}{\partial \eta} \end{Bmatrix} = \begin{bmatrix} \frac{\partial x}{\partial \xi} & \frac{\partial y}{\partial \xi} \\ \frac{\partial x}{\partial \eta} & \frac{\partial y}{\partial \eta} \end{bmatrix} \begin{Bmatrix} \frac{\partial \phi}{\partial x} \\ \frac{\partial \phi}{\partial y} \end{Bmatrix} = [J] \begin{Bmatrix} \frac{\partial \phi}{\partial x} \\ \frac{\partial \phi}{\partial y} \end{Bmatrix} \quad (\text{ก.5})$$

โดยที่  $[J]$  มีค่าเป็น

$$[J] = \begin{bmatrix} \frac{\partial x}{\partial \xi} & \frac{\partial y}{\partial \xi} \\ \frac{\partial x}{\partial \eta} & \frac{\partial y}{\partial \eta} \end{bmatrix} \quad (\text{ก.6})$$

โดยที่  $[J]$  คือ เมตริกซ์จากความเปลี่ยนของความสัมพันธ์ในเชิงอนุพันธ์ของอิลีเมนต์จริงไปยังอิลีเมนต์อ้างได้ดังสมการ และสามารถเปลี่ยนความสัมพันธ์ในเชิงอนุพันธ์ของอิลีเมนต์จริงไปยังอิลีเมนต์อ้างได้ดังสมการ

$$\begin{Bmatrix} \frac{\partial \phi}{\partial x} \\ \frac{\partial \phi}{\partial y} \end{Bmatrix} = \begin{bmatrix} \frac{\partial \xi}{\partial x} & \frac{\partial \eta}{\partial x} \\ \frac{\partial \xi}{\partial y} & \frac{\partial \eta}{\partial y} \end{bmatrix} \begin{Bmatrix} \frac{\partial \phi}{\partial \xi} \\ \frac{\partial \phi}{\partial \eta} \end{Bmatrix} = [J]^{-1} \begin{Bmatrix} \frac{\partial \phi}{\partial \xi} \\ \frac{\partial \phi}{\partial \eta} \end{Bmatrix} \quad (\text{ก.7})$$

อนุพันธ์พิกัด  $(x, y)$  เทียบกับพิกัด  $(\xi, \eta)$  จะได้

$$\frac{\partial x}{\partial \xi} = \sum_{i=1}^4 x_i \frac{\partial N_i}{\partial \xi} = \frac{1}{4} [-x_1(1-\eta) + x_2(1-\eta) + x_3(1+\eta) - x_4(1+\eta)] \quad (\text{ก.8})$$

$$\frac{\partial x}{\partial \eta} = \sum_{i=1}^4 x_i \frac{\partial N_i}{\partial \eta} = \frac{1}{4} [-x_1(1-\xi) - x_2(1+\xi) + x_3(1+\xi) + x_4(1-\xi)] \quad (\text{ก.9})$$

$$\frac{\partial y}{\partial \xi} = \sum_{i=1}^4 y_i \frac{\partial N_i}{\partial \xi} = \frac{1}{4} [-y_1(1-\eta) + y_2(1-\eta) + y_3(1+\eta) - y_4(1+\eta)] \quad (\text{ก.10})$$

$$\frac{\partial y}{\partial \eta} = \sum_{i=1}^4 y_i \frac{\partial N_i}{\partial \eta} = \frac{1}{4} [-y_1(1-\xi) - y_2(1+\xi) + y_3(1+\xi) + y_4(1-\xi)] \quad (\text{ก.11})$$

ดังนั้นจะได้จากความเปลี่ยนของความสัมพันธ์ในเชิงอนุพันธ์ของอิลีเมนต์จริงไปยังอิลีเมนต์อ้างได้ดังสมการ ( ก.12 ) โดยแทน ( ก.8 ) ถึง

( น.11) ลงไปในสมการ (น.12 )

$$J = \det[J] = \begin{vmatrix} \frac{\partial x}{\partial \xi} & \frac{\partial y}{\partial \xi} \\ \frac{\partial x}{\partial \eta} & \frac{\partial y}{\partial \eta} \end{vmatrix} \quad (\text{n.12})$$

ดังนั้น

$$J = \frac{\partial x}{\partial \xi} \frac{\partial y}{\partial \eta} - \frac{\partial x}{\partial \eta} \frac{\partial y}{\partial \xi} \quad (\text{n.13})$$

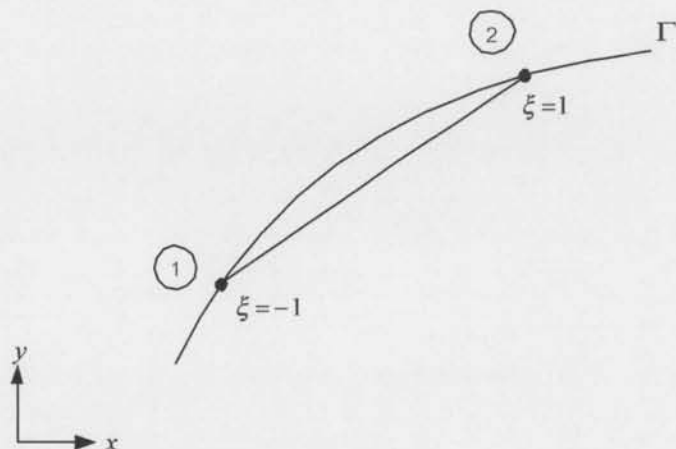
ซึ่งสามารถอินทิเกรตในพิกัดอ้างอิงโดยใช้ความสัมพันธ์

$$\iint_{\Omega} f(x, y) dx dy = \int_{-1}^1 \int_{-1}^1 f(\xi, \eta) J d\xi d\eta \quad (\text{n.14})$$

## ภาคผนวก ๙

### การอินทิเกรตเชิงเส้น

ภาคผนวกนี้จะกล่าวถึงรูปแบบของอีลีเมนต์เชิงเส้นในปริภูมิ 2 มิติที่ใช้ในการวิเคราะห์ปัญหาของคลื่นแม่เหล็กไฟฟ้าใน 2 มิติโดยการแปลงระบบพิกัดของอีลีเมนต์เชิงเส้นในระบบพิกัดจากเป็นระบบพิกัดของอีลีเมนต์อ้างอิงใน 1 มิติ เนื่องจากเมื่อขอบเขตของวัตถุถูกแบ่งออกเป็นอีลีเมนต์เชิงเส้นแล้วในการอินทิเกรตเชิงเส้นในแต่ละอีลีเมนต์มักจะใช้การประมาณการอินทิเกรตเชิงตัวเลขโดยใช้ local intrinsic coordinate  $\xi$  หากกว่าที่จะใช้การอินทิเกรตเชิงเส้นโดยตรง



รูปที่ ๙.๑ อีลีเมนต์เชิงเส้นที่อยู่ในปริภูมิ 2 มิติ

กำหนดให้พิกัดที่ตำแหน่ง  $(x, y)$  ใดๆ ดังรูปที่ ๙.๑ เป็นดังนี้

$$x(\xi) = \sum_{c=1}^2 N_c(\xi) x_c = N_1(\xi)x_1 + N_2(\xi)x_2 \quad (\text{๙.๑})$$

$$y(\xi) = \sum_{c=1}^2 N_c(\xi) y_c = N_1(\xi)y_1 + N_2(\xi)y_2 \quad (\text{๙.๒})$$

โดยที่

$N_c(\xi)$  เป็นพังก์ชันฐานเชิงเส้นซึ่งสอดคล้องกับเงื่อนไขที่ว่า  $N_c(\xi)=1$  ที่ในด  $c$  และ  $N_c(\xi)=0$  ที่ในดอื่นๆ

ดังนั้นพังก์ชันฐาน  $N_1(\xi)$  และ  $N_2(\xi)$  จะอยู่ในรูปของสมการเชิงเส้นดังนี้

$$N_1(\xi) = a_1\xi + a_2 \quad (\text{ข.3})$$

$$N_2(\xi) = a_3\xi + a_4 \quad (\text{ข.4})$$

โดยที่  $a_1, a_2, a_3$  และ  $a_4$  เป็นค่าคงที่

เมื่อพิจารณาในเงื่อนไขในการสร้างพังก์ชันฐาน  $N_c(\xi)$  ดังที่กล่าวมาแล้วจะได้ว่า

ที่ nond 1 :  $\xi = -1$

$$N_1(-1) = 1 \quad (\text{ข.5})$$

$$N_2(-1) = 0 \quad (\text{ข.6})$$

และที่ nond 2 :  $\xi = 1$

$$N_1(1) = 0 \quad (\text{ข.7})$$

$$N_2(1) = 1 \quad (\text{ข.8})$$

และจากสมการที่ (ข.5) - (ข.8) เมื่อแทนสมการที่ (ข.3) และ (ข.4) ลงไปเพื่อหาค่าคงที่  $a_1, a_2, a_3$  และ  $a_4$  ได้ผลดังนี้

$$a_1 = -\frac{1}{2}, a_2 = \frac{1}{2}, a_3 = \frac{1}{2} \text{ และ } a_4 = \frac{1}{2} \quad (\text{ข.9})$$

ดังนั้นพังก์ชันฐาน  $N_1(\xi)$  และ  $N_2(\xi)$  จะเป็นดังนี้

$$N_1(\xi) = \frac{1}{2}(1 - \xi) \quad (\text{ข.10})$$

$$N_2(\xi) = \frac{1}{2}(1 + \xi) \quad (\text{ข.11})$$

และใช้การแปลงจากอเมียน (Jacobian transformation) ในการแปลงตัวแปรจากตัวแปรของเส้นโค้ง  $\Gamma$  ในระบบพิกัดจาก  $(x, y)$  ไปยังระบบพิกัดในอีกดimenหนึ่งที่ประกอบด้วย intrinsic coordinate  $\xi$  เพื่อให้ง่ายในการอ้างอิงถึงพจน์ที่อยู่ในเครื่องหมายอินทิกรัลและเพื่อใช้การแปลงตัวแปรจากเส้นโค้งของการอินทิเกรตจริงไปยังระบบที่ประกอบด้วย intrinsic coordinate  $\xi$  ซึ่งอยู่ในรูปแบบของอีลิเมนต์ใน 1 มิติ ดังรูปที่ ๗.๑

เมื่อพิจารณาส่วนย่อของอีลิเมนต์เชิงเส้นจะได้ว่า

$$dl = J(\xi) d\xi = \sqrt{\left(\frac{dx(\xi)}{d\xi}\right)^2 + \left(\frac{dy(\xi)}{d\xi}\right)^2} d\xi \quad (\text{๗.12})$$

โดยที่

$$\frac{dx(\xi)}{d\xi} = \frac{(x_2 - x_1)}{2} \quad (\text{๗.13})$$

$$\frac{dy(\xi)}{d\xi} = \frac{(y_2 - y_1)}{2} \quad (\text{๗.14})$$

ดังนั้นจะได้การแปลงจากอเมียนเป็นดังนี้

$$J(\xi) = \frac{1}{2} \sqrt{(x_2 - x_1)^2 + (y_2 - y_1)^2} = \frac{l}{2} \quad (\text{๗.15})$$

โดยที่

$l$  เป็นความยาวของอีลิเมนต์เชิงเส้นซึ่งเท่ากับระยะทางจากโนดที่ 1 ไปยังโนดที่ 2 ในระบบพิกัดจาก  $(x, y)$

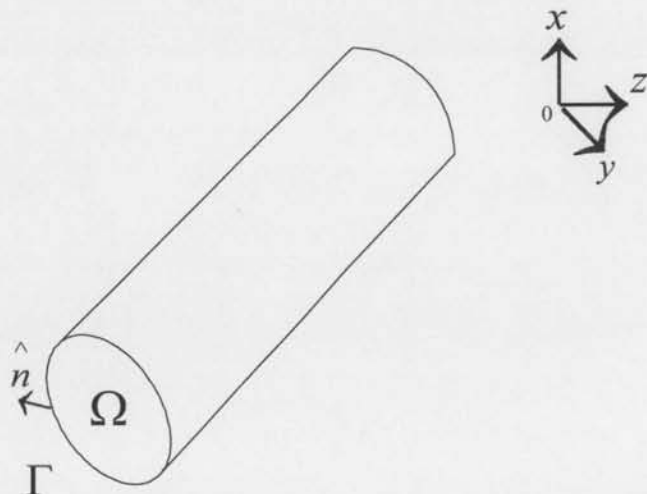
ซึ่งจะใช้การแปลงจากอเมียนในการแปลงพจน์ของการอินทิเกรตจาก  $\int [-] dl = \int [-] J(\xi) d\xi$

## ภาคผนวก C

### ท่อนำคลื่น

ท่อนำคลื่นแบบเอกพันธ์นั้น มีอยู่ 2 โมดัลตั้งนี้ ใน模式 แรก สิ่งที่ไม่มีส่วนประกอบของสนามแม่เหล็กในทิศทางการแพร่กระจายซึ่งเรียกว่า โมดัลสนามแม่เหล็กตามขวาง (Transverse Magnetic Mode: TM\_Mode) ในทางตรงกันข้ามใน模式 ที่ไม่มีสนามไฟฟ้าตามขวาง (Transverse Electric Mode: TE\_Mode) สมมติว่า

- ท่อนำคลื่นที่มีพื้นที่หน้าตัดรูปได雅วาสม่ำเสมอและแกนยาวหอดไปตามแกน z
- หน้าตัดของท่อนำคลื่นอยู่ในระนาบ x-y
- ขอบเขตตัวภายนอกเป็นตัวนำสมบูรณ์
- ท่อนำคลื่นที่บรรจุด้วยตัวกลางไอโซทรอปิก



รูปที่ C.1 ภาคตัดขวางท่อนำคลื่น

การพิจารณาสนามแม่เหล็กไฟฟ้าภายในท่อนำคลื่น สามารถแบ่งออกได้เป็น 2 หมุด คือ หมุดของ TE และหมุดของ TM มีรายละเอียดดังต่อไปนี้

- กรณีที่เป็น TE mode ซึ่งพิจารณาสนามไฟฟ้าตามแนวแกน x และ y ( $E_x, E_y$ ) และสนามแม่เหล็กตามแนวแกน x, y และ z ( $H_x, H_y, H_z$ ) และสามารถเขียนอยู่ในรูปสมการ (ค. 2)

$$\phi = H_z \quad (\text{ค.1})$$

$$\nabla^2\phi + k_c^2\phi = 0 \quad (\text{ค.2})$$

และมีเงื่อนไขขอบเขตเป็นไปตามรูปแบบของ Neumann boundary condition ดังสมการ (ค.3)

$$\mathbf{n} \bullet \nabla \phi = 0 \quad (\text{ค.3})$$

- กรณีที่เป็น TM mode ซึ่งพิจารณาสนามไฟฟ้าตามแนวแกน x, y และ z ( $E_x, E_y, E_z$ ) และสนามแม่เหล็กตามแนวแกน x และ y ( $H_x, H_y, H_z$ ) และสามารถเขียนอยู่ในรูปสมการดังสมการ (ค.5)

$$\phi = E_z \quad (\text{ค.4})$$

$$\nabla^2\phi + k_c^2\phi = 0 \quad (\text{ค.5})$$

และมีเงื่อนไขขอบเขตเป็นไปตามรูปแบบของ Dirichlet boundary condition ดังสมการ (ค.6)

$$\phi = 0 \quad (\text{ค.6})$$

ดังนี้ในการพิจารณาสนามแม่เหล็กไฟฟ้าภายในท่อนำคลื่น สามารถ พิจารณาจากสมการเรณูโอลซ์ในรูปแบบสเกลาร์ ตามสมการ (ค.7) ดังนี้

$$\nabla^2\phi + k_c^2\phi = 0 \quad (\text{ค.7})$$

และมีเงื่อนไขขอบเขต ตามสมการคือ

$$\phi = 0 \quad \text{บนขอบเขตภายนอก} \quad (\text{ค.8})$$

$$\hat{\mathbf{n}} \cdot \nabla \phi = 0 \quad \text{บนขอบเขตภายนอก} \quad (\text{ค.9})$$

กำหนดให้  $\hat{\mathbf{n}}$  คือเวคเตอร์ที่ตั้งฉากกับเส้นขอบเขต

$\phi$  คือฟังก์ชันของสนามแม่เหล็กไฟฟ้าไดๆ

$k_c$  คือเลขค่าลิมิตตัด(cut off wave number)

ใช้ระเบียบวิธีถ่วงน้ำหนักเชิงต่อตัว

$$\iint_{\Gamma} [T(\nabla^2 \phi) + k_c^2 T \phi] ds = 0 \quad (\text{ค.10})$$

จากพจน์แรกใน (ค.10) สามารถเขียนได้เป็น

$$\iint_{\Gamma} [T(\nabla^2 \phi)] ds = \iint_{\Gamma} [T(\nabla \cdot \nabla \phi)] ds \quad (\text{ค.11})$$

โดยอาศัยความสัมพันธ์

$$\nabla \cdot [T(\nabla \phi)] = \nabla T \cdot \nabla \phi + T(\nabla \cdot \nabla \phi) \quad (\text{ค.12})$$

และ

$$\iint_{\Gamma} \nabla \nabla \psi ds = \int_{d\Gamma} \nabla \phi \cdot \hat{n} dl \quad (\text{ค.13})$$

สมการ (ค.10) สามารถเขียนได้เป็น

$$\iint_{\Gamma} \nabla T \cdot \nabla \phi ds - k_c^2 \iint_{\Gamma} T \phi ds = \int_{d\Gamma} T \frac{\partial \phi}{\partial n} dl \quad (\text{ค.14})$$

โดยที่  $\partial \phi / \partial n$  คืออนุพันธ์เชิงตัวของ  $\phi$  ตามขอบ  $d\Gamma$  ซึ่งพจน์ทางขวาหมดไปโดยที่  $T$  เป็นศูนย์บนผนังตัวนำไฟฟ้าสมบูรณ์(perfect electric conductor:PEC) และ  $\partial \phi / \partial n$  เป็นศูนย์บนผนังตัวนำแม่เหล็กสมบูรณ์(perfect magnetic conductor:PMC)

$$\iint_{\Gamma} \nabla T \cdot \nabla \phi ds = k_c^2 \int_{\Gamma} T \phi ds \quad (\text{ค.15})$$

ในกรณีที่คำนวน TM โมดูลซึ่งผนังเป็นตัวนำไฟฟ้าสมบูรณ์และฟงก์ชันรูปร่างเป็นแบบเคลื่อนที่กำลังสองน้อยที่สุดโดยใช้ระเบียบวิธี พินอลตี้(penalty method) สมการ (ค.15) จะเป็น

$$\iint_{\Gamma} \nabla E_z \cdot \nabla E_z ds + \int_{\Gamma} E_z^2 d\Gamma = k_c^2 \int_{\Gamma} E_z^2 ds \quad (\textcircled{16})$$

### ประวัติผู้เขียนวิทยานิพนธ์

นายพนัสน สินสุนทรพงศ์ เกิดวันที่ 29 เมษายน 2522 ที่อำเภอภาคอำเภอ  
จังหวัดสกลนคร สำเร็จการศึกษาระดับปริญญาวิศวกรรมศาสตรบัณฑิต สาขาวิศวกรรมไฟฟ้า  
คณะวิศวกรรมศาสตร์ สถาบันเทคโนโลยีพระจอมเกล้าเจ้าคุณทหารลาดกระบัง ในปีการศึกษา  
2544 และเข้าศึกษาต่อในระดับปริญญาวิศวกรรมศาสตรมหาบัณฑิต สาขาวิศวกรรมศาสตร์ สาขา  
วิศวกรรมไฟฟ้า ภาควิชาวิศวกรรมไฟฟ้า จุฬาลงกรณ์มหาวิทยาลัย ในปีการศึกษา 2546